

A1 (21) 405758 (22) 2013 10 24

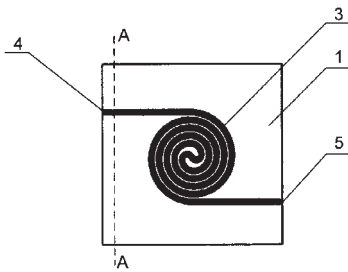
(51) G01N 33/00 (2006.01)
G01N 31/00 (2006.01)
B01D 63/10 (2006.01)(71) AKADEMIA GÓRNICZO-HUTNICZA
IM. STANISŁAWA STASZICA W KRAKOWIE,
Kraków

(72) RYDOSZ ARTUR; MARZAŁEK KONSTANTY

(54) **Mikrosystem wzbogacania składników
w próbkach gazowych**

(57) Mikrosystem wzbogacania składników w próbkach gazowych charakteryzuje się tym, że stanowi go płytka ceramiczna (1), składająca się z co najmniej czterech warstw folii organicznej, zespolonych ze sobą, przy czym w dwóch środkowych foliach wykonany jest spiralny mikrokanal (3) o wymiarach i krzywiźnie odpowiednio dostosowanej do rodzaju stosowanej substancji adsorbującej, na końcach którego znajdują się otwory, wlotowy (4) i wylotowy (5), zaś płytka ceramiczna (1) wyposażona jest w grzejniki, górny i dolny, usytuowane po obu stronach spiralnego mikrokanalu (3), który wypełniony jest substancją adsorbującą.

(2 zastrzeżenia)



A1 (21) 405772 (22) 2013 10 25

(51) G01N 33/68 (2006.01)
G01N 33/92 (2006.01)(71) POMORSKI UNIWERSYTET MEDYCZNY W SZCZECINIE,
Szczecin(72) KUCHARSKA-MAZUR JOLANTA;
SAMOCHOWIEC JERZY; RATAJCZAK MARIUSZ;
TARNOWSKI MACIEJ; DOŁĘGOWSKA BARBARA(54) **Sposób wykrywania pierwszego epizodu psychozy,
zwłaszcza o charakterze schizofrenicznym**

(57) Ujawniono zastosowanie osoczowego poziomu C3a, wchodzącego w skład systemu dopełniacza oraz osoczowego poziomu sfingozyno-1-fosforanu, jako markerów pierwszego epizodu psychotycznego, a także zastosowanie sfingozyno-1-fosforanu i ilości komórek macierzystych VSEL Lin- /CD45-/CD34+ jako markerów pierwszego epizodu psychotycznego o charakterze schizofrenicznym. Ponadto wynalazek obejmuje sposób wykrywania pierwszego epizodu psychozy, zwłaszcza o charakterze schizofrenicznym, który polega na tym, że w próbce krwi pobranej od pacjenta określa się poziom zawartości białka C3a, poziom zawartości sfingozyno-1-fosforanu oraz poziom zawartości komórek macierzystych VSEL Lin- /CD45-/CD34+, przy czym osoczowy poziom białka C3a poniżej 550 [ng/ml] i osoczowy poziom sfingozyno-1-fosforanu poniżej 2,33 [µg/ml] świadczą o wystąpieniu pierwszego epizodu psychotycznego. Natomiast osoczowy poziom sfingozyno-1-fosforanu poniżej 2,33 [µg/ml] i ilość komórek macierzystych VSEL Lin- /CD45-/CD34+ powyżej 0,45 [komórek/µl krwi obwodowej] świadczą o wystąpieniu pierwszego epizodu psychotycznego o charakterze schizofrenicznym.

(3 zastrzeżenia)

A1 (21) 409862 (22) 2014 10 20

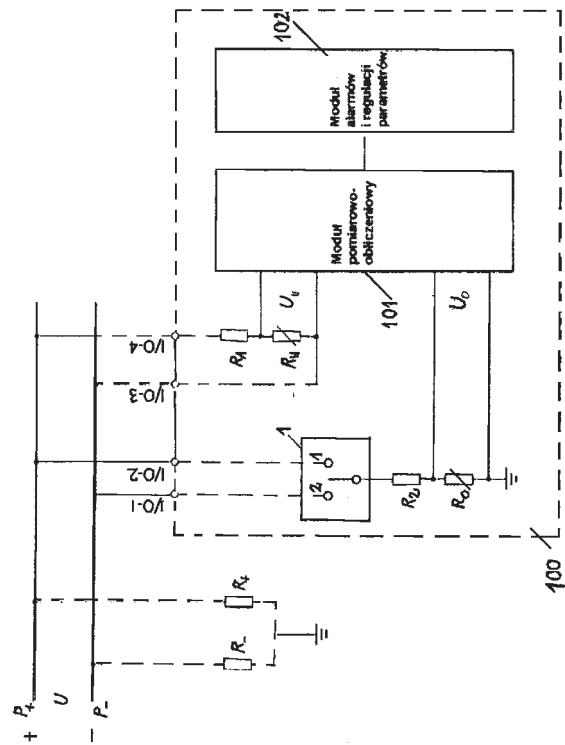
(51) G01R 27/18 (2006.01)

(31) 201310500990.0 (32) 2013 10 22 (33) CN

(71) AKADEMIA MORSKA W SZANGHAJU,
Szanghaj, CN(72) WEI GU, CN; RUNDONG WANG, CN;
XIAOYAN XU, CN; XIXIA HUANG, CN;
MINDYKOWSKI JANUSZ(54) **Układ do pomiaru rezystancji izolacji doziemnej
na szynach rozdzielnic niskiego napięcia
prądu stałego**

(57) Przedmiotem wynalazku jest układ do pomiaru rezystancji izolacji doziemnej na szynach rozdzielnic niskiego napięcia prądu stałego mający zastosowanie w kontroli bezpieczeństwa elektroenergetycznego statku. Układ charakteryzuje się tym, że zawiera pomiarowy przełącznik sekcyjny (1), moduł pomiarowo-obliczeniowy (101), moduł alarmów i regulacji parametrów (102), początkowy rezystor R_0 , pierwszy rezystor R_1 , drugi rezystor R_2 , trzeci rezystor R_U , przy czym początkowy rezystor R_0 i drugi rezystor R_2 są połączone szeregowo z pomiarowym przełącznikiem sekcyjnym (1). Początkowy rezystor R_0 i pierwszy rezystor R_1 , drugi rezystor R_2 i trzeci rezystor R_U są połączone z modulem pomiarowo-obliczeniowym (101), który jest połączony z modulem alarmów i regulacji parametrów (102), pomiarowy przełącznik sekcyjny (1) jest połączony z jednym biegunem dodatnim szyny rozdzielnic niskiego napięcia P_+ prądu stałego oraz z jednym biegunem ujemnym szyny rozdzielnic niskiego napięcia P_- prądu stałego. Zastosowanie układu zapewnia bezpieczne działanie sieci niskiego napięcia prądu stałego statków o zasilaniu hybrydowym, zapobiega awariom zagrażającym bezpieczeństwu statków spowodowanym uszkodzeniami izolacji sieci niskiego napięcia prądu stałego. Układ może być realizowany zarówno przez obwody analogowe jak i poprzez zastosowanie inteligentnych obwodów cyfrowych współpracujących z CPU.

(4 zastrzeżenia)



A1 (21) 405719 (22) 2013 10 21

(51) G06N 5/02 (2006.01)
G06Q 99/00 (2006.01)
G11B 20/10 (2006.01)